

doi:10.13866/j.azr.2019.03.25

奎屯市大气环境中  $O_3$  与  $VOC_s$ 、 $NO_x$  的关系<sup>①</sup>郭宇宏<sup>1</sup>, 朱俏俏<sup>1,2,3</sup>, 杨春<sup>1</sup>, 王海林<sup>1</sup>, 张小啸<sup>4</sup>, 刘文江<sup>4</sup>,  
杨荣江<sup>5</sup>, 田青<sup>5</sup>

(1. 新疆维吾尔自治区环境监测总站,新疆 乌鲁木齐 830011;

2. 浙江省经济信息中心,浙江省应对气候变化和低碳发展合作中心,浙江 杭州 310006;

3. 浙江大学环境科学与工程学科博士后流动站,浙江 杭州 310027;

4. 中国科学院新疆生态与地理研究所,荒漠与绿洲生态国家重点实验室,新疆 乌鲁木齐 830011;

5. 奎屯市环境保护监测站,新疆 奎屯 833200)

**摘要:**以“奎屯—独山子—乌苏”区域重点城市奎屯为研究区域,利用2013—2015年 $O_3$ 、 $VOC_s$ 、 $NO_x$ 监测数据,探讨奎屯市大气 $O_3$ 与 $VOC_s$ 、 $NO_x$ 之间的关系。结果显示:2013—2015年依次出现33 d、14 d、10 d  $O_3$ 超标现象,最大日均值分别为 $0.457\text{ mg}\cdot\text{m}^{-3}$ 、 $0.396\text{ mg}\cdot\text{m}^{-3}$ 、 $0.385\text{ mg}\cdot\text{m}^{-3}$ ,夏季 $O_3$ 污染较重,冬季和夏季 $O_3$ 浓度值相差近2.5倍; $O_3$ 浓度日间变化呈现倒“U”形分布,峰值出现在17:00左右;冬季和夏季 $VOC_s$ 浓度相差近3倍, $VOC_s$ 小时值没有较明显的日变化规律,冬季 $VOC_s$ 浓度最高而 $O_3$ 浓度最低,两者反向作用不明显,但 $NO_x$ 浓度与 $O_3$ 呈现对称的反向作用,说明冬季奎屯市 $O_3$ 的生成处于 $NO_x$ 敏感区而非 $VOC_s$ 敏感区;夏季 $VOC_s$ 与 $NO_x$ 变化趋势基本相同, $O_3$ 浓度水平处于高位,两者呈现对称的反向作用,说明夏季奎屯市 $O_3$ 的生成同时处于 $VOC_s$ 和 $NO_x$ 敏感区, $O_3$ 生成受 $VOC_s$ 及 $NO_x$ 的交替控制。

**关键词:** 大气环境;  $VOC_s$ ;  $O_3$ ;  $NO_x$ ; 奎屯; 新疆

“奎屯—独山子—乌苏”区域地处新疆南北交通要塞,现已成为天山北坡城市群经济带上仅次于“乌鲁木齐—昌吉—石河子”区域中心和发展的“西极”,是拉动新疆区域经济发展的增长极之一。区域总人口 $6.83\times 10^5$ ,其中奎屯市人口 $1.55\times 10^5$ ;独山子区人口 $8.23\times 10^4$ ;乌苏市人口 $2.29\times 10^5$ ,新疆生产建设兵团第七师人口 $2.17\times 10^5$ ,工业企业近326家,涉及25个行业,主要以石油加工、电力热力生产和供应业、化学原料和化学制品制造业、食品加工业为主。2015年,“奎屯—独山子—乌苏”区域工业总产值 $8.29\times 10^{10}$ 元,原油加工及石油制品制造业产值占57.5%,其余为石化下游及配套产业。“奎屯—独山子—乌苏”区域能源消耗为 $6.38\times 10^6$  t标煤,石油加工业、电力热力生产和供应业、化学原料和化学制品制造业能源消耗占总能耗的96.6%,机动车保有量 $1.48\times 10^5$ 辆,区域过境车流量 $1.30\times 10^4$ 辆 $\cdot\text{d}^{-1}$ ,主要为载货车量。大气污染物以挥发性有机物( $VOC_s$ )排放强度较大,已经

成为影响区域环境空气质量的突出问题之一。

大气中 $VOC_s$ 、 $NO_x$ 两者均为 $O_3$ 生成的关键前体物。1951年A. J. 哈根最先指出 $O_3$ 是 $NO_x$ 、HC和空气的混合物通过光化学反应形成。F. W. 温特发现 $O_3$ 与不饱和烃的反应产物与洛杉矶烟雾有相同的伤害效应。美国斯坦福研究所的学者指出,形成 $O_3$ 的活性有机化合物 $VOC_s$ 和 $NO_x$ 的主要来源是汽车尾气, $O_3$ 浓度的升高是光化学烟雾的标志。我国学者王雪松等<sup>[1]</sup>研究认为,人为源排放 $VOC_s$ 对北京地区 $O_3$ 生成具有重要贡献;Geng等<sup>[2]</sup>研究了上海市大气中 $O_3$ 和 $VOC_s$ 的日变化关系;Na等<sup>[3]</sup>研究了韩国首尔大气中 $VOC_s$ 的季节变化特征;Schneidmesser等<sup>[4]</sup>研究了1998—2008年全球大气 $VOC_s$ 和CO的变化特征;Sillman<sup>[5]</sup>研究了城市大气中 $O_3$ 、 $NO_x$ 和 $VOC_s$ 的关系及其影响因素。由于 $O_3$ 浓度与 $NO_x$ 和 $VOC_s$ 存在非线性响应关系,通常绘制EKMA曲线方法(臭氧等浓度曲线)来揭示 $O_3$ 、

① 收稿日期:2018-02-27; 修订日期:2018-10-11

基金项目:新疆自然科学基金项目(2013211A045)资助

作者简介:郭宇宏(1967-),女,博士,高级工程师,主要研究方向为大气环境学。E-mail: 723776006@qq.com

通讯作者:朱俏俏。E-mail: zqq@zei.gov.cn

$VOC_s$ 、 $NO_x$  三者之间的相互影响,确定一个地区  $O_3$  是由  $VOC_s$  控制还是  $NO_x$  控制,这对于制定  $O_3$  污染控制对策极为重要,这也是当前区域大气污染研究中一个最具挑战性的科学问题<sup>[6-8]</sup>。

近年来,新疆天山北坡经济带“乌鲁木齐—昌吉—石河子”区域、“奎屯—独山子—乌苏”区域以细颗粒物、臭氧、挥发性有机物为代表的新型复合污染开始显现<sup>[9-15]</sup>。针对当前大气污染的区域复合型特征,笔者分析了奎屯市大气中  $O_3$ 、 $VOC_s$ 、 $NO_x$  的变化特征,找出不同大气污染物之间的关联性,通过分析奎屯市冬、夏季环境空气中  $O_3$  和  $NO_x$ 、 $VOC_s$  三者之间的对应关系,尝试区分  $NO_x$ 、 $VOC_s$  对当地臭氧形成的贡献,对于制定有效的区域大气污染防治措施,改善区域环境空气质量具有重要的意义。

## 1 研究区域和监测方法

### 1.1 研究区概况

“奎屯—独山子—乌苏”区域地处天山北麓山前地带、准噶尔盆地西南缘,南屏天山山脉,北部延伸至准噶尔盆地,地势由南向北倾斜,依次为高山、中低山、丘陵、平原、沙漠5个地形带,从南到北大致分为山地气候、山麓气候、平原气候和荒漠气候4个气候区。受自然条件影响,植被具有明显的垂直地带特征,从南部山地到北部平原依次为高山草甸—亚高山草甸—山地森林草原—荒漠草原—荒漠。区域平均植被盖度为36.3%,远高于全区9.3%的水平。

“奎屯—独山子—乌苏”区域冬季处于天山北坡逆温带,加上天山准静止锋影响,阴雾天气多发。年盛行风以西风为主,冬季盛行北风。受日夜温差及地形影响,区域内风向较为复杂,存在山谷风交替现象,白天多偏东北风(谷风),夜间多西南风(山风)。冬季平均风速仅为  $1.2 \text{ m} \cdot \text{s}^{-1}$ ,静风频率高达50%,大气层结稳定,大气环境容量小,地面产生的大气污染物极难扩散。

2015年,“奎屯—独山子—乌苏”区域消耗  $6.38 \times 10^6 \text{ t}$  标煤,占全区消费总量的4.0%,其中煤炭消费占95.1%。二氧化硫、氮氧化物、烟粉尘排放量分别是  $3.20 \times 10^4 \text{ t}$ 、 $3.30 \times 10^4 \text{ t}$ 、 $2.20 \times 10^4 \text{ t}$ ,其中工业所占比例分别为82.7%、67.7%、77.7%,工业  $VOC_s$  排放量  $3.20 \times 10^4 \text{ t}$ 。本文选取“奎屯—独



图1 研究区及其周边环境示意图

Fig.1 The study area and its surrounding environment

山子—乌苏”区域的奎屯市作为研究靶区(图1)。奎屯市南面毗邻独山子区,西邻乌苏市,东与沙湾县接壤,奎屯市建成区面积为  $31.74 \text{ km}^2$ ,是“奎屯—独山子—乌苏”区域人口最多的城市。

### 1.2 数据来源与评价方法

1.2.1 数据获取 利用2013—2015年奎屯市政府办公楼顶在线监测的  $VOC_s$  数据与空气自动站获取的  $NO_2$  和  $O_3$  监测数据开展研究,监测频次为每天24 h监测。

使用TH-300大气挥发性有机物快速在线监测系统获取实  $VOC_s$  浓度值。通过电制冷超低温( $-150^\circ\text{C}$ )空管捕集技术实现大气  $VOC_s$  的捕集,使用GC/MS分析系统(美国EPA TO-15法)分析各类  $VOC_s$  组分。根据文献方法,将103种  $VOC_s$  分成低碳( $C_2 - C_5$ )烷烃、卤代烃、低碳( $C_2 - C_5$ )烯烃、含氧  $VOC_s$ 、炔烃、高碳( $C_6 - C_{12}$ )烷烃、苯系物、高碳( $C_6 - C_{12}$ )烯烃等共8类  $VOC_s$ 。

2013—2015年共获取奎屯市大气环境中挥发性有机物103种,  $VOC_s$  浓度小时监测数据共  $5.30 \times 10^6$  个,有效率90.3%。此外,获取独山子、奎屯市空气质量自动监测站6参数( $PM_{10}$ 、 $PM_{2.5}$ 、 $O_3$ 、 $SO_2$ 、 $NO_2$ 、 $CO$ )小时监测数据共  $1.54 \times 10^5$  个,有效率96.3%。

1.2.2 质量控制 针对  $VOC_s$  及  $O_3$ 、 $NO_2$  等大气污染物监测数据,制定科学、规范的数据质量控制标准,以保证基础数据的有效性、规范性和准确性。

$VOC_s$  质量控制:采样流量的校准,质谱调谐、空

白实验、仪器标定、日校准。VOC<sub>s</sub> 在线监测仪器每天 0:00 进 4 ppbv 浓度的 104 种混合标准气体,定量结果为 2.8~5.2 ppbv 为合格。若物质的超差率不超过 30%,则认为仪器稳定可靠,可以用于监测;若超出范围就需要对仪器进行重新标定。

定期进行内置零气,用外置标气钢瓶(NO<sub>2</sub>)进行零点/标定检查,半年做跨度检查和多点校准,保证数据的准确。每天进行零气校准,自动零点序列周期检查和校正背景光,通过零气检查,数值波动较小的确认其值稳定可信。将臭氧校准器送至国家总站标准参比光度计(SRP)实验室,进行一级标准的臭氧量值溯源传递。

1.2.3 臭氧生成机理和评价方法

(1) 生成机理

近地面对流层臭氧本质上是一种光化学污染,大多是在高温光照条件下由氮氧化物(NO<sub>x</sub>)和挥发性有机物(VOC<sub>s</sub>)发生光化学反应后二次转化而来,臭氧生成机理为:① 污染空气中 NO<sub>2</sub> 的光解导致 O<sub>3</sub> 的生成,是光化学烟雾形成的起始反应。② 空气中 VOC<sub>s</sub>(碳氢化合物)被 HO·、O 等自由基和臭氧氧化,导致醛、酮、醇、酸等产物以及重要的中间产物 RO<sub>2</sub>、HO<sub>2</sub>、RCO 等自由基的生成。③ 过氧自由基引起 NO 向 NO<sub>2</sub> 的转化,并导致 O<sub>3</sub> 和 PAN 等的生成。光化学烟雾基本反应机制如表 1<sup>[16]</sup>。

表 1 光化学烟雾基本反应机制

Tab.1 Basic reaction mechanism of photochemical smog		
	反 应	速率常数
引发反应	$\text{NO}_2 + \text{h}\nu \rightarrow \text{NO} + {}^3\text{O}$	$0.533 \text{ min}^{-2}$
	${}^3\text{O} + \text{O}_2 + \text{M} \rightarrow \text{O}_3 + \text{M}$	$2.183 \times 10^{-5}$
	$\text{NO} + \text{O}_3 \rightarrow \text{NO}_2 + \text{O}_2$	26.59
自由基传递反应	$\text{RH} + \text{OH} \cdot \rightarrow \text{RO}_2 + \text{H}_2\text{O}$	$3.775 \times 10^3$
	$\text{RCHO} + \text{OH} \cdot \rightarrow \text{RC}(\text{O})\text{O}_2 + \text{HO}_2$	$2.341 \times 10^4$
	$\text{RCHO} + \text{h}\nu \rightarrow \text{RO}_2 \cdot + \text{HO}_2 + \text{CO}$	$1.91 \times 10^{-4} \text{ min}^{-2}$
	$\text{HO}_2 \cdot + \text{NO} \rightarrow \text{NO}_2 + \text{OH}$	$1.214 \times 10^4$
	$\text{RO}_2 + \text{NO} \rightarrow \text{NO}_2 + \text{RCHO} + \text{HO}_2$	$1.214 \times 10^4$
终止反应	$\text{RC}(\text{O})\text{O}_2 \cdot + \text{NO} \rightarrow \text{NO}_2 + \text{RO}_2 \cdot + \text{CO}_2$	$1.217 \times 10^4$
	$\text{OH} \cdot + \text{NO}_2 \rightarrow \text{HNO}_3$	$1.613 \times 10^4$
	$\text{RC}(\text{O})\text{O}_2 \cdot + \text{NO}_2 \rightarrow \text{RC}(\text{O})\text{O}_2\text{NO}$	$6.893 \times 10^4$
	$\text{RC}(\text{O})\text{O}_2\text{NO}_2 \rightarrow \text{RC}(\text{O})\text{O}_2 \cdot + \text{NO}_2$	$2.14 \times 10^{-2}$

(2) 评价标准

依据环境空气质量评价标准(GB3095-2012),对大气污染物监测浓度进行评价见表 2。

表 2 环境空气质量评价标准

Tab.2 Standards of evaluating air quality					
污染物项目	平均时间	浓度限值		单位	备注
		一级	二级		
二氧化氮(NO <sub>2</sub> )	年平均	40	40	μg·m <sup>-3</sup>	GB3095-2012
	24 h 平均	80	80		
	1 h 平均	200	200		
臭氧(O <sub>3</sub> )	日最大 8 h 平均	100	160		
	1 h 平均	160	200		

2 结果与分析

近地面臭氧本质上是一种光化学污染,大多是在高温光照条件下由氮氧化物(NO<sub>x</sub>)和挥发性有机物(VOC<sub>s</sub>)发生光化学反应后二次转化而来,臭氧形成的特定条件通常为:① 当地大气成分中存在一定的前体物,即以一氧化氮、二氧化氮为代表的氮氧化物和挥发性有机物浓度比较高;其中人工排放的氮氧化物主要来自机动车、发电厂、燃煤锅炉和水泥炉窑等,挥发性有机物主要来自机动车、石化工业排放和有机溶剂的挥发等。② 气温高和紫外线照射强烈,才能触发前驱物生成臭氧。因此,臭氧污染多发生在高温的晴天,主要集中在夏季。本文分析奎屯市冬、夏季环境空气中 NO<sub>x</sub>、VOC<sub>s</sub> 和 O<sub>3</sub> 三者之间的关系,尝试区分 NO<sub>x</sub>、VOC<sub>s</sub> 对当地臭氧形成的贡献。

2.1 日平均值水平

2013—2015 年奎屯市已出现明显的臭氧超标现象,其中 2013 年臭氧超标 33 d,最大日均值为 0.457 mg·m<sup>-3</sup>,远远超出日标准限值 0.160 mg·m<sup>-3</sup>;2014 年臭氧超标 14 d,最大日均值为 0.396 mg·m<sup>-3</sup>;2015 年臭氧超标 10 d,最大日均值为 0.385 mg·m<sup>-3</sup>(图 2),说明奎屯市 O<sub>3</sub> 污染较为严重。

2.2 月平均值水平

2013—2015 年奎屯市 O<sub>3</sub> 月均值浓度在 0.038~0.327 mg·m<sup>-3</sup>,呈现出明显的夏高冬低抛物线形变化,5—9 月臭氧浓度较高,但 11—1 月臭氧浓度较低。2013 年 7 月臭氧浓度值最高,最大月均值为 0.327 mg·m<sup>-3</sup>;2014—2015 年夏季臭氧月均值有所回落,最大月均值分别为 0.148 mg·m<sup>-3</sup>、0.154 mg·m<sup>-3</sup>(图 3)。

2.3 24 h 变化规律

奎屯市 2013 年冬季 1 月的 O<sub>3</sub> 最大小时浓度值



为 0.094 mg · m<sup>-3</sup>, 存在较明显的日变化规律, 在 15:00 左右出现峰值; 夏季 7 月 O<sub>3</sub> 最大小时浓度为 0.457 mg · m<sup>-3</sup>, 呈现较明显的日变化规律, 在 16:00—17:00 出现峰值(图 4)。

从图 5 可以看出, 奎屯市都是在太阳照射强度

最大时段 13:00 之后开始生成臭氧, 多是在太阳照射强度最大时段 14:00 之后臭氧浓度开始升高, 在 16:00—18:00 期间形成 O<sub>3</sub> 小时高浓度时段, 到了傍晚太阳下山后臭氧浓度随之降低, 在夜间形成低值区。冬季和夏季 O<sub>3</sub> 呈现出非常近似的日变化规

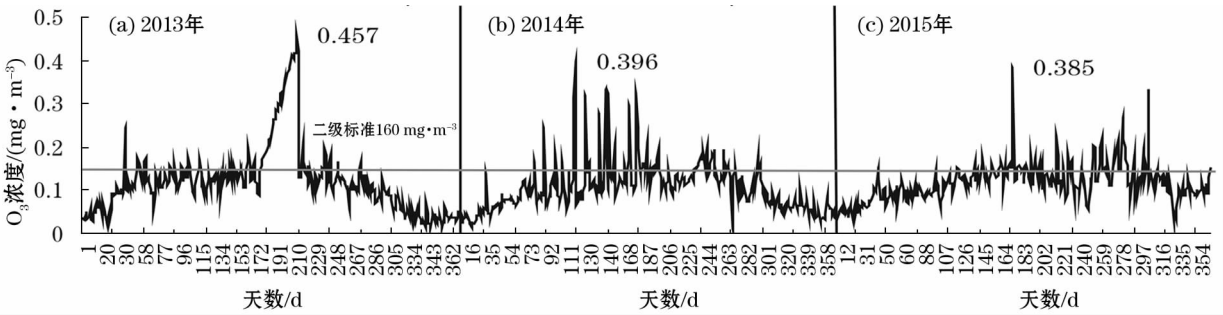


图 2 2013—2015 年奎屯市 O<sub>3</sub> 浓度的日变化

Fig. 2 Daily change of O<sub>3</sub> concentration over Kuytun City during the period of 2013 – 2015

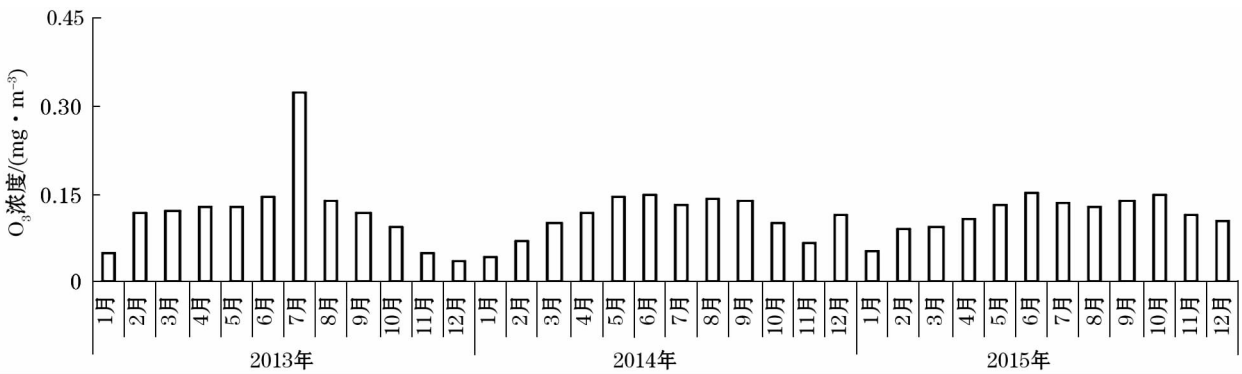


图 3 2013—2015 年奎屯市 O<sub>3</sub> 浓度的月变化

Fig. 3 Monthly change of O<sub>3</sub> concentration over Kuytun City during the period of 2013 – 2015

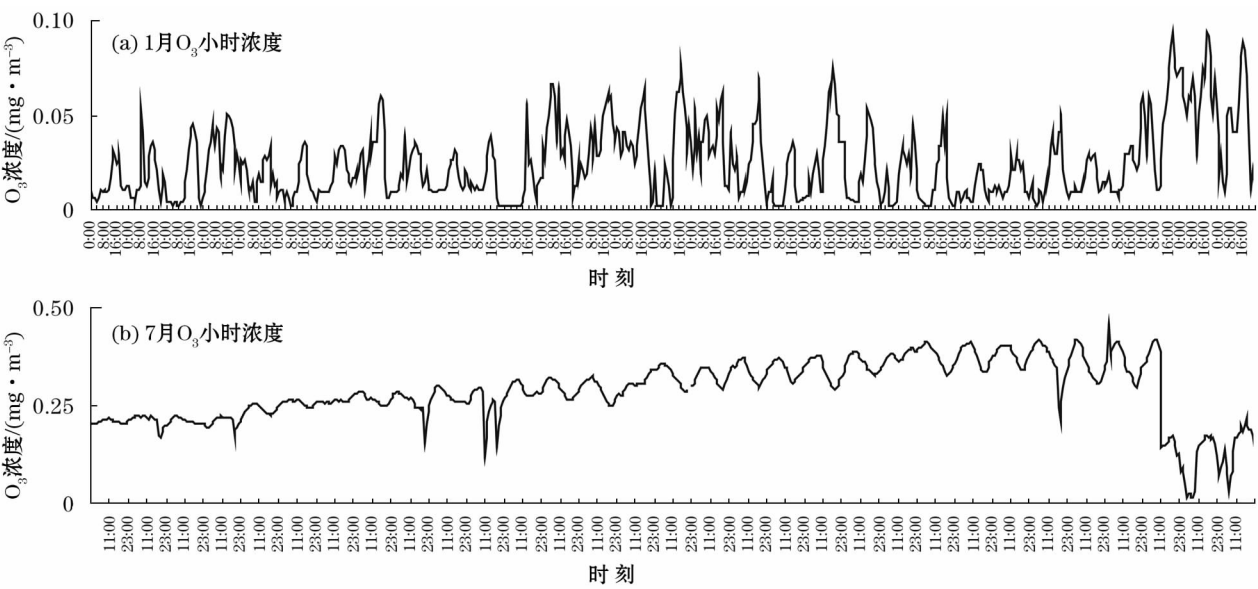
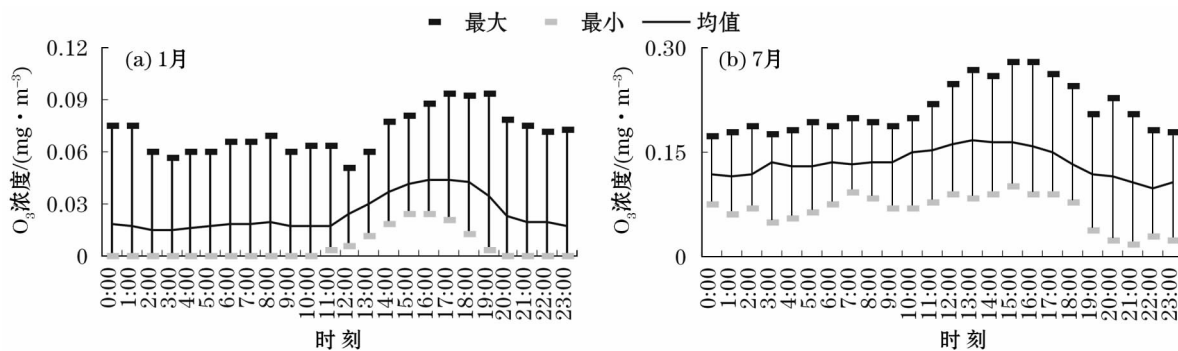


图 4 2013 年奎屯市 1 月和 7 月大气 O<sub>3</sub> 小时浓度日变化

Fig. 4 Hourly change of O<sub>3</sub> concentration over Kuytun City in January and July 2013

图5 2013年奎屯市1月和7月大气24 h  $O_3$  浓度Fig. 5 24-hourly change of  $O_3$  concentration over KuYTun City in January and July 2013

律,只是两者间的浓度值相差近3倍。

### 3 讨论

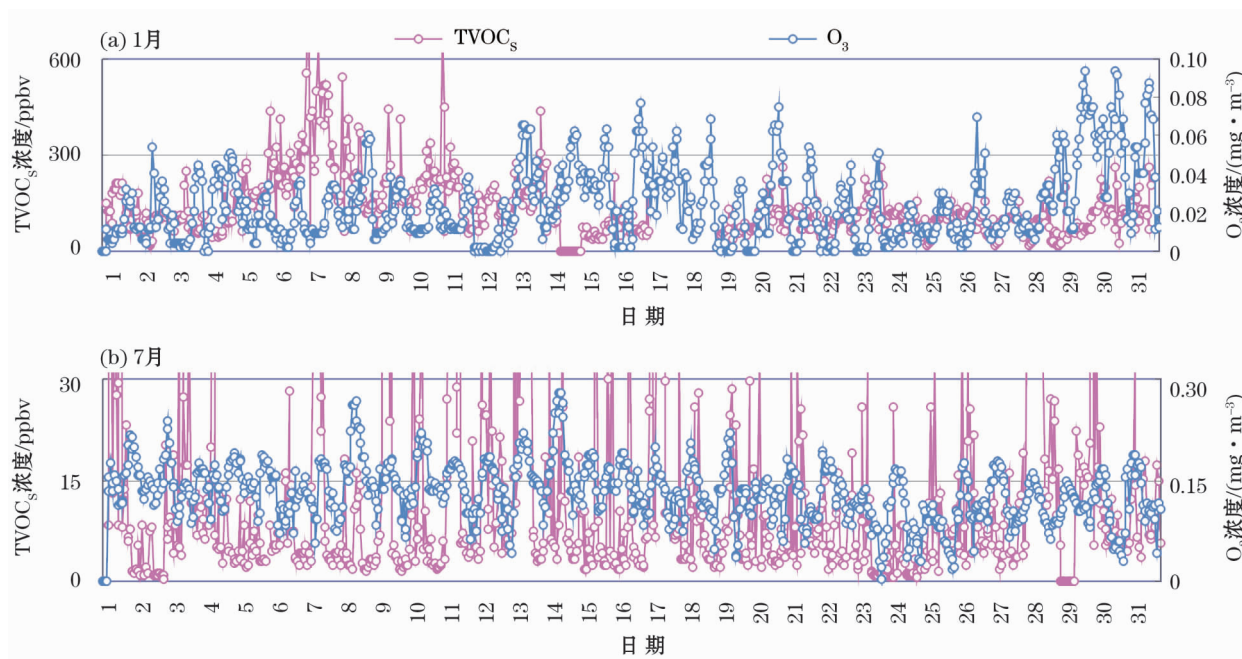
$O_3$  作为二次污染物,它的前体物  $NO_2$ 、 $VOC_s$  的浓度与它们反应形成的  $O_3$  浓度之间的关系是非线性的。通常高浓度的  $NO_2$  为  $O_3$  生成提供了基础,  $NO_2$  在中午至下午光照下裂解为  $NO$  和一个氧原子,氧原子与氧气结合生成  $O_3$ ,  $NO$  与环境空气中的碳氢化合物  $VOC_s$  在下午光照强烈时段  $O_3$  浓度达到最高,与此同时  $NO$  不断与环境空气中的碳氢化合物  $VOC_s$  中的过氧自由基进行传递反应,源源不断生成  $NO_2$ ,形成产生  $O_3$  的链式反应,到了夜间温度较低且缺少光照,  $NO_2$  难以继续分解为  $NO$ ,空气中  $NO$  浓度较低导致在“滴定反应”较弱的情况下,

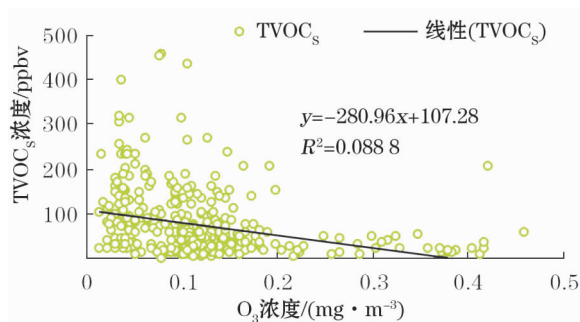
$O_3$  浓度较低。由于  $O_3$  是由  $VOC_s$  和  $NO_2$  两者在强烈光照下发生光化学反应生成的二次污染物,所以需要对三者之间的复合关系做进一步研究,分析奎屯市臭氧主要受  $VOC_s$  控制还是  $NO_x$  的控制。

#### 3.1 大气中 $VOC_s$ 与 $O_3$ 的关系

由图6可知,奎屯市1月  $VOC_s$  浓度较高而  $O_3$  浓度较低,但两者反向作用不明显。由于冬季气温低湿度高,不利于光化学反应的进行,臭氧不易生成,表明冬季奎屯市尽管  $VOC_s$  浓度高但  $O_3$  的生成对于  $VOC_s$  浓度不敏感。

7月  $VOC_s$  与  $O_3$  呈现一定的负相关(图7)。 $VOC_s$  的浓度较低而  $O_3$  浓度较高,两者呈现对称的反向作用,表明夏季气温高太阳辐射强,导致  $VOC_s$ 、 $NO_x$  同步参与大气光化学反应生成  $O_3$ ,说明夏季奎屯市  $O_3$  的生成对于  $VOC_s$  浓度十分敏感。

图6 奎屯市大气1月和7月  $VOC_s$ 、 $O_3$  浓度的同步变化Fig. 6 Synchronous change of  $O_3$  and  $VOC_s$  concentrations over KuYTun City in January and July

图7 奎屯市  $VOC_s$ 、 $O_3$  日均散点图Fig. 7 Scatter diagram of  $VOC_s$  and  $O_3$  concentrations over Kuytun City

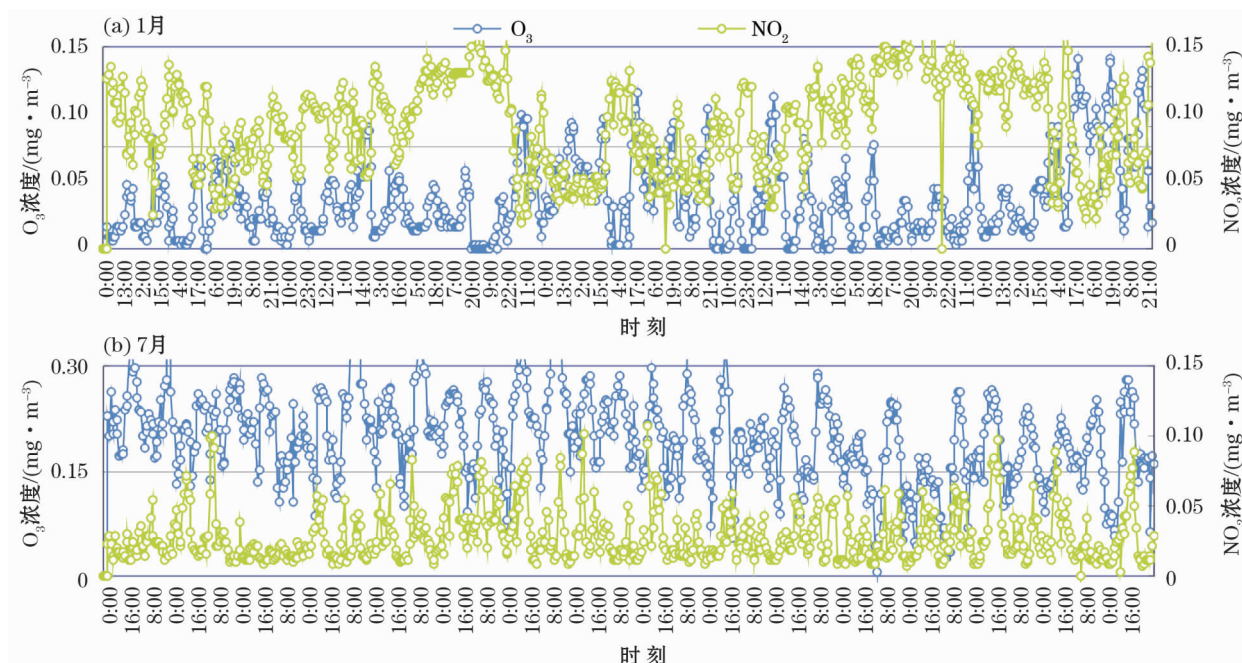
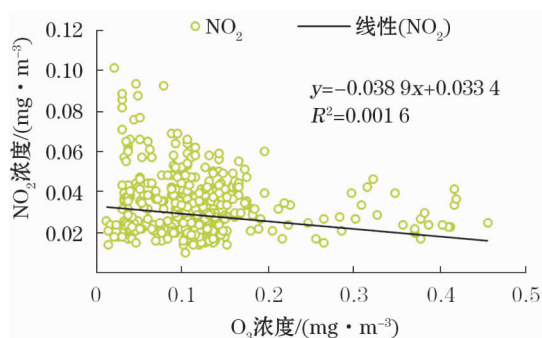
### 3.2 大气中 $NO_x$ 与 $O_3$ 的关系

图8显示奎屯市7月  $NO_2$  浓度较低而  $O_3$  浓度

较高,两者呈现明显的反向作用。这是由于夏季温度高,光化学反应强烈, $NO_x$  与  $VOC_s$  同时参与大气光化学反应生成  $O_3$  所致,说明奎屯市  $O_3$  的生成同时对于  $NO_2$  和  $VOC_s$  敏感。与此同时,1月奎屯市  $NO_2$  浓度高而  $O_3$  浓度低,大气中  $O_3$  与  $NO_2$  的变化趋势基本相反,几乎所有的峰值成反向关系,两者反向作用十分明显,说明冬季奎屯市  $O_3$  生成主要以消耗  $NO_2$  为主。图9散点图显示两者之间的负相关关系,表明奎屯市大气中  $O_3$  产生受机动车、工业企业燃烧废气排放  $NO_2$  影响显著。

### 3.3 大气中 $O_3$ 、 $NO_2$ 、 $VOC_s$ 三者的关系

$VOC_s$  与  $NO_2$  都是臭氧的前提物,冬季  $O_3$  与  $VOC_s$ 、 $NO_2$  浓度呈现出完全不同的变化趋势, $VOC_s$ 、

图8 奎屯市1月和7月  $NO_2$ 、 $O_3$  浓度的同步变化Fig. 8 Synchronous change of  $O_3$  and  $NO_2$  concentrations over Kuytun City in January and July图9 奎屯市  $NO_2$ 、 $O_3$  日均散点图Fig. 9 Scatter diagram of  $O_3$  and  $NO_2$  concentrations over Kuytun City

$NO_2$  浓度均处于高浓度状态,但  $O_3$  浓度总体处于较低水平且呈现出较为明显的日变化规律;夏季  $O_3$  处于高浓度状态, $NO_2$  处于低浓度状态,由于温度较高有利于大气中有机溶剂的挥发,致使  $VOC_s$  浓度略高于  $NO_x$  浓度, $VOC_s$  与  $NO_2$  变化趋势基本相同,尤其是  $NO_2$  且与  $O_3$  浓度峰值呈现完全不同的变化趋势。由此看出,奎屯市  $VOC_s$  浓度总体较高的背景下, $O_3$  浓度主要取决于气温和光照强度,臭氧的生成与  $NO_2$  的消耗直接相关。

图10为2013年1月、7月奎屯市大气中  $VOC_s$ 、 $NO_2$  与  $O_3$  小时浓度水平的逐日变化, $O_3$  的变化趋



势与 VOC<sub>s</sub> 与 NO<sub>2</sub> 呈负相关。

奎屯市夏季 NO<sub>2</sub>、VOC<sub>s</sub> 浓度较低而 O<sub>3</sub> 浓度最高,这是由于石化行业 VOC<sub>s</sub> 排放量高,伴随夏季温度急剧升高,在阳光的强烈照射下发生光化学反应产生二次污染物 O<sub>3</sub>,导致 O<sub>3</sub> 浓度急剧升高。通常夜间至第二天 7:00 前后 O<sub>3</sub> 的浓度维持较低水平,这是因为光化学反应很弱所致,但臭氧前体物 VOC<sub>s</sub> 和 NO<sub>2</sub> 经过夜间和上午大量积累,到中午光照强度达到最强时,大气光化学反应强烈,生成大量 O<sub>3</sub>,促使 O<sub>3</sub> 浓度上升并在 15:00—18:00 达到一个峰值。

与此相反,冬季尽管 VOC<sub>s</sub>、NO<sub>2</sub> 浓度较高,接近夏季的 10 倍,但 O<sub>3</sub> 浓度最低。一方面冬季气温过

低,不利于光化学反应的进行,使得臭氧难以大量产生;另一方面静稳天气,使得工业园区排放的 NO<sub>2</sub> 和 VOC<sub>s</sub> 浓度不断积累,使较多 OH 自由基与 NO<sub>2</sub> 反应,无法分解成 NO 和氧原子,进一步抑制了 O<sub>3</sub> 的生成。

由于 NO<sub>x</sub>、VOC<sub>s</sub> 与 O<sub>3</sub> 最大浓度并不是简单的线性关系,特绘制奎屯市 EKMA 臭氧等浓度曲线来揭示 O<sub>3</sub>、VOC<sub>s</sub>、NO<sub>x</sub> 三者之间的相互影响,结果如图 11。

由图 11 可知,通过 EKMA 曲线分析 O<sub>3</sub> 与前体物 NO<sub>x</sub> 和 VOC<sub>s</sub> 的关系,可以看出 1 月和 7 月的监测值均在 EKMA 曲线脊线的上方,当地臭氧的生成

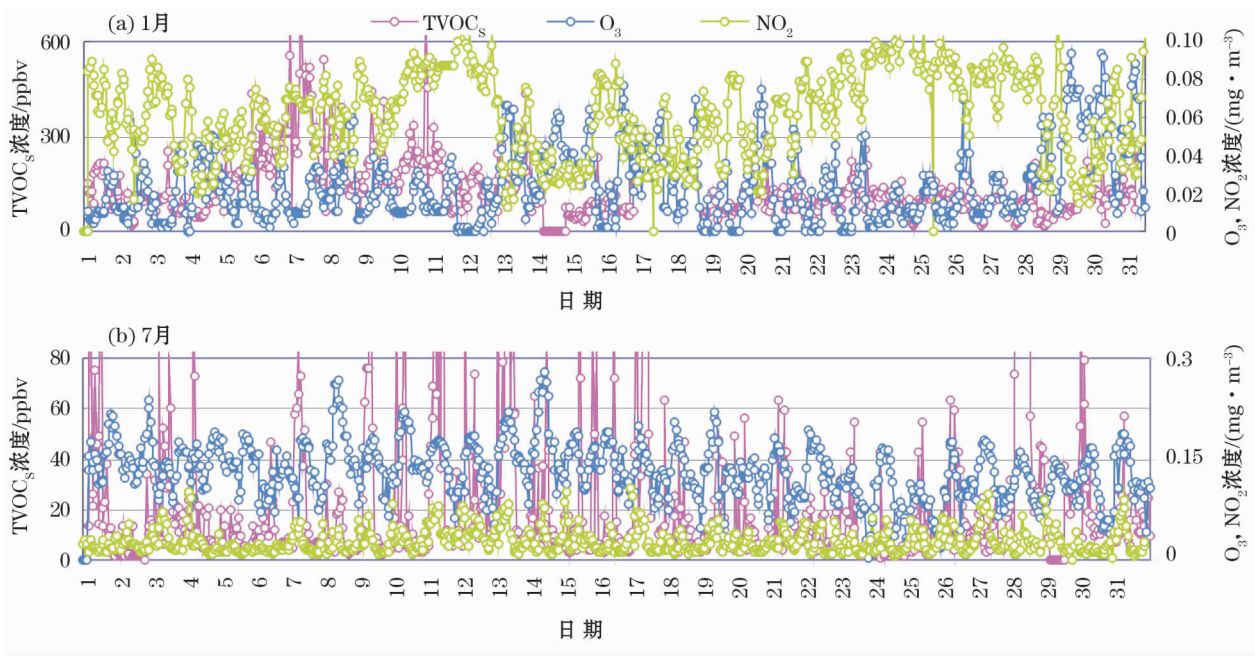


图 10 奎屯市大气 1 月和 7 月 TVOC<sub>s</sub>、NO<sub>2</sub>、O<sub>3</sub> 浓度的同步变化

Fig. 10 Synchronous change of TVOC, NO<sub>2</sub> and O<sub>3</sub> concentrations over Kuytun City in January and July

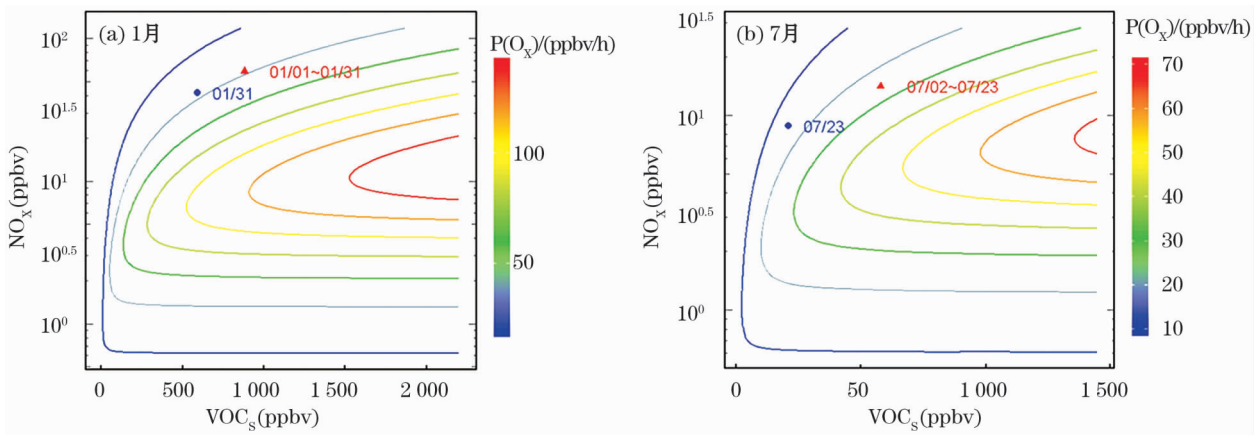


图 11 奎屯市 2013 年 1 月和 7 月 EKMA 曲线

Fig. 11 EKMA curves over Kuytun City in January and July 2013

主要受  $VOC_s$  控制。

## 4 结论

(1) 奎屯市 2013—2015 年臭氧超标天数为 10~33 d,最大日均值达  $0.385 \sim 0.457 \text{ mg} \cdot \text{m}^{-3}$ ,臭氧超标现象主要发生在夏季,表明夏季奎屯市  $O_3$  污染较为严重。

(2) 臭氧日间浓度变化呈现倒“U”形分布,高浓度  $O_3$  小时值时间段为 15:00—18:00,通常在 16:00 左右出现峰值,臭氧浓度随傍晚太阳下山后降低,在夜间形成低值区,冬季和夏季  $O_3$  呈现出非常近似的日变化规律,只是两者的浓度值相差近 2.5 倍。

(3) 奎屯市大气中  $VOC_s$  浓度较高,2013 年  $VOC_s$  浓度最大日均值为 459 ppbv;冬季  $VOC_s$  浓度最高,秋季次之,春季和夏季较低。冬季 1 月的  $VOC_s$  最大小时浓度值为 976 ppbv,出现在夜间 24:00, $VOC_s$  小时值没有较明显的日变化规律,夏季 7 月  $VOC_s$  浓度日均值为 13~60 ppbv,冬夏  $VOC_s$  浓度相差接近 5 倍。

(4) 本文通过奎屯市  $O_3$ 、 $VOC_s$  及  $NO_x$  3 种污染物的小时数据直观地进行对比,发现奎屯市冬季  $VOC_s$  浓度高而  $O_3$  浓度低,两者反向作用不明显,但  $NO_x$  浓度与  $O_3$  呈现对称的反向作用,说明冬季奎屯市  $O_3$  的生成处于  $NO_x$  敏感区而非  $VOC_s$  敏感区;夏季  $VOC_s$  与  $NO_x$  变化趋势基本相同, $O_3$  的浓度水平处于高位,两者均与  $O_3$  呈现对称的反向作用,说明奎屯市  $O_3$  的生成同时处于  $VOC_s$  和  $NO_2$  敏感区。

(5) 由于大气中  $O_3$  与  $VOC_s$ 、 $NO_x$  三者之间存在着非线性响应关系,1 月和 7 月的监测值均在 EKMA 曲线脊线的上方,当地臭氧的生成主要受  $VOC_s$  控制。

## 参考文献 (References):

- [1] 王雪松,李金龙. 人为源排放 VOC 对北京地区臭氧生成的贡献[J]. 中国环境科学,2002,22(6):501-505. [Wang Xue-song, Li Jinlong. The contribution of anthropogenic hydrocarbons to ozone formation in Beijing areas [J]. China Environmental Science, 2002, 22(6): 501-505.]
- [2] Geng F H, Zhao C S, Tang X, et al. Analysis of ozone and  $VOC_s$  measured in Shanghai: A case study [J]. Atmospheric Environment, 2007, 41(5): 989-1001.
- [3] Na K, Yong P K. Seasonal characteristics of ambient volatile organic compounds in Seoul, Korea [J]. Atmospheric Environment, 2001, 35(15): 2603-2614.
- [4] Schneidemesser E V, Monks P S, Plass-Duelmer C. Global comparison of VOC and CO observations in urban areas [J]. Atmospheric Environment, 2010, 44(39): 5053-5064.
- [5] Sillman S. The Relation between Ozone,  $NO_x$  and Hydrocarbons in Urban and Polluted Rural Environments [M]. Elsevier Science & Technology, 2002: 1821-1845.
- [6] Geng F, Tie X, Xu J, et al. Characterizations of ozone,  $NO_x$ , and  $VOC_s$  measured in Shanghai, China [J]. Atmospheric Environment, 2008, 42(29): 6873-6883.
- [7] 王伯光,张远航,邵敏. 珠江三角洲大气环境  $VOC_s$  的时空分布特征[J]. 环境科学,2004(增刊1):9-17. [Wang Boguang, Zhang Yuanhang, Shao Min. Special and temporal distribution character of  $VOC_s$  in the ambient air of Pearl River Delta region [J]. Environmental Science, 2004(Suppl. 1): 9-17.]
- [8] 解鑫,邵敏,刘莹,等. 大气挥发性有机物的日变化特征及在臭氧生成中的作用——以广州夏季为例[J]. 环境科学学报, 2009, 29(1): 54-62. [Xie Xin, Shao Min, Liu Ying, et al. The diurnal variation of ambient  $VOC_s$  and their role in ozone formation: A case study in summer in Guangzhou [J]. Acta Scientiae Circumstantiae, 2009, 29(1): 54-62.]
- [9] 王红丽,陈长虹,黄成,等. 上海市城区春节和“五一”节期间大气挥发性有机物的组成特征[J]. 环境科学学报, 2010, 30(9): 1749-1757. [Wang Hongli, Chen Changhong, Huang Cheng, et al. Characterization of volatile organic compounds ( $VOC_s$ ) around the Chinese Spring Festival and International Labour Day in the urban area of Shanghai, China [J]. Acta Scientiae Circumstantiae, 2010, 30(9): 1749-1757.]
- [10] 魏疆. 2000—2009 年乌鲁木齐市湿沉降变化特征[J]. 干旱区研究, 2012, 29(3): 529-533. [Wei Jiang. Analysis on wet deposition in Urumqi during the period from 2000 to 2009 [J]. Arid Zone Research, 2012, 29(3): 529-533.]
- [11] 赵克明,李霞,杨静. 乌鲁木齐大气最大混合层厚度变化的环境响应[J]. 干旱区研究, 2011, 28(3): 509-513. [Zhao Keming, Li Xia, Yang Jing. Environmental response to variation of the atmospheric maximum mixing depth in Urumqi [J]. Arid Zone Research, 2011, 28(3): 509-513.]
- [12] 魏疆,王国华,任泉,等. 乌鲁木齐市大气污染物浓度计量模型研究[J]. 干旱区研究, 2011, 28(5): 896-899. [Wei Jiang, Wang Guohua, Ren Quan, et al. Study on quantitative models of concentrations of air pollutants over Urumqi [J]. Arid Zone Research, 2011, 28(5): 896-899.]
- [13] 郭宇宏,高利军,吕爱华. 乌鲁木齐市典型的冬季环境空气重污染过程剖析[J]. 环境化学, 2006, 25(3): 379-380. [Guo Yuhong, Gao Lijun, Lü Aihua. Analysis the typical winter air pollution process in Urumqi [J]. Environmental Chemistry, 2006, 25(3): 379-380.]
- [14] 杨霞,赵逸舟,赵克明,等. 冬季变暖对乌鲁木齐市采暖气象条件的影响及气象节能潜力分析[J]. 干旱区研究, 2010, 27(1):



- 148 – 152. [ Yang Xia, Zhao Yizhou, Zhao Keming, et al. Analysis on the effects of winter climate warming on heating meteorological conditions and energy saving potential in heating season in Urumqi [J]. Arid Zone Research, 2010, 27(1): 148 – 152. ]
- [15] 魏疆, 陈学刚, 任泉, 等. 乌鲁木齐市能源结构调整对冬季大气污染物浓度的影响[J]. 干旱区研究, 2015, 32(1): 155 – 160.
- [ Wei Jiang, Chen Xuegang, Ren Quan, et al. Effects of energy restructuring on air pollutant concentrations in winter in Urumqi [J]. Arid Zone Research, 2015, 32(1): 155 – 160. ]
- [16] Carter W P L. Development of ozone reactivity scales for volatile organic compounds [J]. Journal of the Air and Waste Management Association, 1994, 44: 881 – 889.

## Relationships Among $O_3$ , $VOC_s$ and $NO_x$ Concentrations over Kuitun City

GUO Yu-hong<sup>1</sup>, ZHU Qiao-qiao<sup>1,2,3</sup>, YANG Chun<sup>1</sup>, WANG Hai-lin<sup>1</sup>, ZHANG Xiao-xiao<sup>4</sup>,  
LIU Wen-jiang<sup>4</sup>, YANG Rong-jiang<sup>5</sup>, TIAN Qing<sup>5</sup>

(1. Master Station for Environmental Monitoring of Xinjiang Uygur Autonomous Region, Urumqi 830011, Xinjiang, China;

2. Zhejiang Province Center of Economic Information, Hangzhou 310006, Zhejiang, China;

3. Postdoctoral Research Station of Environmental Science and Engineering, Zhejiang University, Hangzhou 310027, Zhejiang, China;

4. National Key Laboratory of Desert and Oasis Ecology, Xinjiang Institute of Ecology and Geography, Chinese Academy of Sciences, Urumqi 830011, Xinjiang, China;

5. Kuytun Station of Environment Protection and Monitoring, Kuytun 833200, Xinjiang, China)

**Abstract:** In this paper, the relationships among  $O_3$ ,  $VOC_s$  and  $NO_x$  concentrations over Kuytun City, Xinjiang, northwest China during the period of 2013 – 2015 were analyzed using the environmental monitoring data. Results showed that an apparent overload of  $O_3$  concentration occurred over Kuytun City.  $O_3$  concentration over the city was overloaded for 33, 14 and 10 days during the period of 2013 – 2015, and the daily maximum concentrations of  $O_3$  were 0.457, 0.396 and 0.385  $mg \cdot m^{-3}$ , respectively. The heavy pollution of  $O_3$  occurred in summer, and the value of  $O_3$  concentration was 2.5 times higher than that in winter. The curve of diurnal variation of  $O_3$  pollution was reversely “U-shaped”, and the peak value occurred around 17:00 o’clock. The concentration of  $VOC_s$  in summer was 3 times higher than that in winter, and there was no significant diurnal variation. It was observed that the high concentration of  $VOC_s$  and low concentration of  $O_3$  occurred in winter. In summer,  $VOC_s$  concentration changed with  $NO_x$  accordingly, and  $O_3$  concentration was the highest. This study indicated that the  $O_3$  pollution occurred mainly in the sensitive areas of  $VOC_s$  and  $NO_x$ , and controlled alternatively by  $VOC_s$  and  $NO_x$ .

**Key words:** atmospheric environment;  $VOC_s$ ;  $O_3$ ;  $NO_x$ ; Kuitun; Xinjiang